

I-16 光弾性実験法によるワイド・フランジ ビームの有効幅について

信州大学 工学部 正員 吉田俊彦
 信州大学 工学部 正員 三井康司
 信州大学 工学部 学生員○和田三夫

1. まえがき

ワイド・フランジ・ビームの有効幅を、3次元光弾性実験によって調べ、在来の実験値、理論値と比較するこれが、この研究の目的である。実験方法は、T形梁をモデルとして、そのウェブ部分に載荷し、モーメント一定の純曲げ状態を作り、応力凍結法によって解析を進めたもので、フランジの応力分布、有効幅、および単位幅当たりの有効幅、つまり有効率を調べたものである。

2. 理論計算

有効幅入を求める式は、次式で示される。(注1)

$$\begin{aligned}\lambda_n &= \frac{1}{B} \int_0^B \sigma_x dy / \left[\sigma_x - \mu \sigma_y \right]_{y=0} \\ &= \frac{1}{B} \int_0^B \frac{\partial^2 f_n}{\partial y^2} dy / \left[\frac{\partial^2 f_n}{\partial y^2} + \mu u_n \frac{\partial^2 f_n}{\partial z^2} \right]_{y=0} \quad (1)\end{aligned}$$

μ はボアソン比、 f_n は弾性基礎方程式を満足する応力関数のn次項であつて次のようによく示される。ここで、
 A, B, C, D は積分定数、 w_n は $n\pi/L$ である。

$$f_n = (A + C \cdot w_n \cdot y) \cosh w_n \cdot y + (B + D \cdot w_n \cdot y) \sinh w_n \cdot y \quad (2)$$

図のような境界条件、および変化関数を用いると、スパン中央の有効幅は、次のように示される。

$$\lambda_n = 4 \cdot B \cdot (\sinh d + d) / \alpha \cdot (3.51 \cosh d + 0.84 d^2 + 4.49) \quad (3) \quad \alpha = n\pi B / L.$$

有効率は、 $R_n = \lambda_n / B$ で示される。

3. 実験結果および考察

図-1のようなエポキシ樹脂によるモデルを作製して、応力集中の影響を小さくするためにスパン中央では純曲げ状態とし、応力凍結法を用い、剪断応力差積分法で解析した。図の Δx , Δy , Δz はスライスの厚さ、もしくは解析時分割幅を示している。

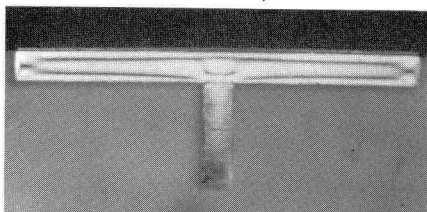


写真-1

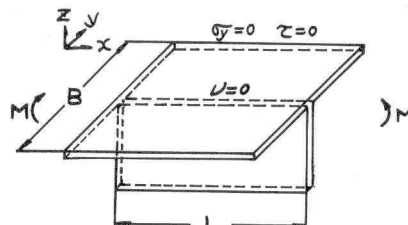


図-1

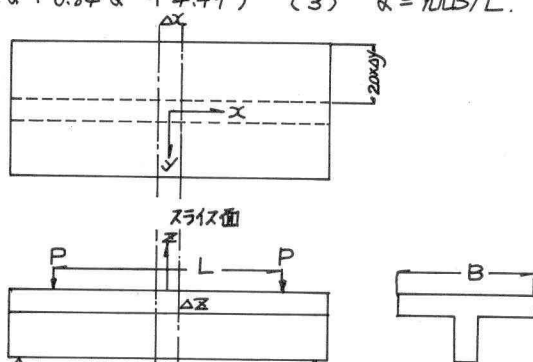


図-2

写真1, 2は、等色線の一例である。左の写真は、Y平面、Z平面の等色線である。スパン中央ではこれを観察する限り、全く応力集中の影響が無い。

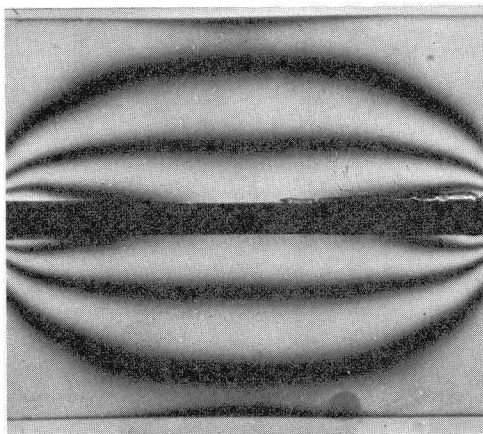


写真-2

図-3は、フランジの応力分布を示したものである。弾性理論から導かれる分布は、どの角数であることから、図のような曲線を示すが、実験値は、ほとんど直線分布をなしていい。

図-4は、スパン中央の有効幅、および中央から $\frac{1}{4}$ 、 $\frac{1}{8}$ 離れた部分の有効幅を調べたものである。理論値のまわりに、一様に集中しているか、 $\frac{1}{4}$ の点では応力集中の影響か表われたのか、バラツキが生じていい。実験値は $L/B=1\sim 3$ の場合であるため、比較すべき理論値が、ほぼ直線を示している。

実際は L/B が大きくなるにつれて入はBに漸近する。図-5は、スパン中央部における有効率 P_n と L/B との関係を示すものである。 P_n は L/B が増加するにつれて $P_n=1$ に漸近していくが、その曲線特性は、指數曲線であって、 $L/B=5$ 以上の場合は、 $P_n=1$ と仮定できる。 $(\chi=1 : P=0.987)$ 実験値も図の段階では、理論値とよく一致している。

4. あとがき

2次元光弹性と異なり、等色線の繕次数読み取り、および等傾線の不規則性、モデルの自由、除荷後の変形の展開、etc. の問題が今後の課題として残されている。実験はT形梁であったが、ウェブが複数になったときの有効幅も興味ある問題である。今後はこれらの諸問題に関する詳細な実験を継続し、箱断面、鋼床板の有効幅に関する基礎的資料を得たいと考えている。

5. 参考文献

注1: A. Mansour: Effective Flange Breadth of Stiffened Plates Under Axial Tensile Load or Uniform Bending Moment. (Journal OF Ship Research)

S. Timoshenko: theory of Elasticity

河田・西田・辻: 光弹性実験法。

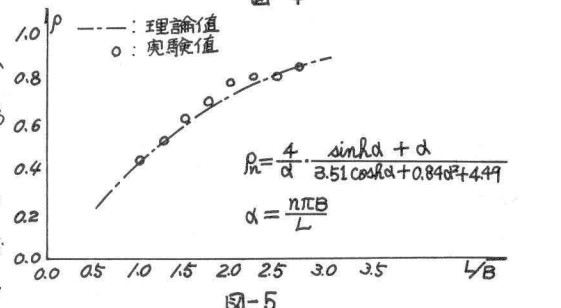
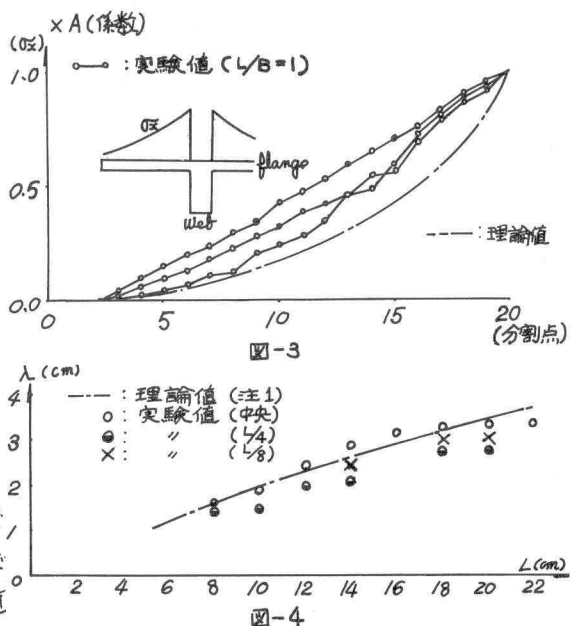


図-5